

# 曝气沉砂池 H<sub>2</sub>S 排放浓度的时间变化与影响因子

韩彩云<sup>1,2</sup>, 张晶宇<sup>1</sup>, 丁永伟<sup>3</sup>, 陈鹏<sup>4</sup>, 朱强<sup>2</sup>, 席劲瑛<sup>1,2</sup>

(1. 清华大学环境学院 环境模拟与污染控制国家重点联合实验室, 北京 100084; 2. 清华苏州环境创新研究院, 江苏 苏州 215163; 3. 苏州水务集团有限公司, 江苏 苏州 215131; 4. 苏州市排水有限公司, 江苏 苏州 215006)

**摘要:** 为了解污水构筑物中 H<sub>2</sub>S 排放浓度的时间变化特征与影响因子, 选取恶臭污染较重的 8 月—10 月, 分别于 2014 年和 2015 年对苏州某污水处理厂曝气沉砂池内 H<sub>2</sub>S 浓度进行了实时在线监测(采样间隔为 30 s)。结果表明, 污水厂的 H<sub>2</sub>S 排放浓度波动较大, 具有明显的变化特征, 一天中 11:00—14:00、17:00—19:00、22:00—02:00 是 H<sub>2</sub>S 排放的 3 个高峰期, 05:00—09:00、15:00—16:00 是 H<sub>2</sub>S 排放的低谷期。进一步考察了污水流量、污水中硫化物浓度、pH 值和水温的变化对 H<sub>2</sub>S 排放浓度的影响, 发现 H<sub>2</sub>S 排放浓度与污水流量(1 180 ~ 2 360 m<sup>3</sup>/h)、污水中硫化物浓度(0.36 ~ 0.71 mg/L)和水温(26.8 ~ 27.1 °C)呈显著正相关性, 其中污水中硫化物浓度和水温与 H<sub>2</sub>S 排放浓度的 Pearson 相关系数分别为 0.84 和 0.62。在一天的变化范围内, pH 值波动范围(7.07 ~ 7.23)小, 与 H<sub>2</sub>S 排放浓度未表现出显著的相关性。

**关键词:** 曝气沉砂池; H<sub>2</sub>S; 时间变化特征; 影响因子

**中图分类号:** TU992    **文献标识码:** A    **文章编号:** 1000-4602(2020)07-0074-05

## Temporal Variation Characteristics and Influencing Factors of H<sub>2</sub>S Emission Concentration in Aerated Grit Chamber

HAN Cai-yun<sup>1,2</sup>, ZHANG Jing-yu<sup>1</sup>, DING Yong-wei<sup>3</sup>, CHEN Peng<sup>4</sup>, ZHU Qiang<sup>2</sup>, XI Jin-ying<sup>1,2</sup>

(1. State Key Laboratory of Environmental Simulation and Pollution Control, School of Environment, Tsinghua University, Beijing 100084, China; 2. Research Institute for Environmental Innovation <Suzhou> Tsinghua, Suzhou 215163, China; 3. Suzhou Water Group Company Limited, Suzhou 215131, China; 4. Suzhou Drainage Company Limited, Suzhou 215006, China)

**Abstract:** In order to understand temporal variation characteristics and influencing factors of H<sub>2</sub>S emission concentration in wastewater treatment structures, real-time online monitoring of H<sub>2</sub>S concentration in an aerated grit chamber of a wastewater treatment plant (WWTP) in Suzhou was carried out from August to October with heavy odor pollution in 2014 and 2015 respectively (the sampling interval was 30 s). The H<sub>2</sub>S emission concentration of WWTP fluctuated greatly and had obvious variation characteristics, which was the highest at 11:00–14:00, 17:00–19:00 and 22:00–02:00 and the lowest at 05:00–09:00 and 15:00–16:00 in a day. The effects of wastewater flow rate, sulfide

基金项目: 国家水体污染防治与治理科技重大专项(2011ZX07301-003)  
责任作者: 席劲瑛 E-mail: xijinying@tsinghua.edu.cn

concentration, pH value and water temperature on H<sub>2</sub>S emission concentration were further investigated. The emission concentration of H<sub>2</sub>S had significant positive correlations with wastewater flow rate (1 180–2 360 m<sup>3</sup>/h), sulfide concentration (0.36–0.71 mg/L) and water temperature (26.8–27.1 °C). The Pearson correlation coefficients of sulfide concentration and water temperature with H<sub>2</sub>S concentration were 0.84 and 0.62, respectively. Within a day, pH value fluctuated within a small range (7.07–7.23), showing no significant correlation with H<sub>2</sub>S concentration.

**Key words:** aerated grit chamber; hydrogen sulfide (H<sub>2</sub>S); temporal variation characteristics; influencing factor

城市污水厂在改善水环境的同时,也带来了诸多环境问题,其中最为典型的就是恶臭污染问题<sup>[1–2]</sup>。污水厂中有8类化合物可以产生恶臭,而H<sub>2</sub>S是影响最大的一类<sup>[3–4]</sup>。此外,城市污水厂周边多为居民区、学校等风险敏感区域<sup>[5]</sup>。因此,污水厂的恶臭污染问题已成为人们关注的焦点<sup>[6]</sup>。

近年来,针对污水厂构筑物产生的恶臭气体主要通过加盖<sup>[7]</sup>或采用生物法、吸附法和吸收法等来控制<sup>[1]</sup>。由于污水厂水质条件及恶臭排放规律存在差异性,在选取和设计污水厂除臭方案时,应先掌握污水厂排放恶臭气体的时间变化特征及影响因子<sup>[8]</sup>。曝气沉砂池是污水厂中H<sub>2</sub>S的重要来源<sup>[9]</sup>,其内部H<sub>2</sub>S的变化规律可用来预测其他构筑物内恶臭物质的排放规律。因此,有必要对污水厂中曝气沉砂池内恶臭气体排放特征进行深入研究<sup>[10]</sup>。

本研究选取苏州某污水厂的曝气沉砂池为研究对象,以H<sub>2</sub>S为典型恶臭物质,研究曝气沉砂池中H<sub>2</sub>S排放浓度的时间变化特征,并分析其影响因子,以期为污水厂恶臭污染控制提供基础数据。

## 1 试验材料与方法

### 1.1 污水处理厂概况

苏州某城市污水处理厂一期处理规模为8×10<sup>4</sup> m<sup>3</sup>/d,二期处理规模为10×10<sup>4</sup> m<sup>3</sup>/d。污水经泵提升进入格栅、曝气沉砂池进行一级处理,随后进入UNITANK工艺进行二级处理,二级出水经絮凝沉淀、紫外消毒后外排。污泥经浓缩池、储泥池,由带式压滤机脱水后外运。

### 1.2 采样点及采样频率

用风机对曝气沉砂池内部的臭气进行收集,收集气量为4 000 m<sup>3</sup>/h。由曝气沉砂池前段廊道的电磁流量计显示水量,每1 h记录1次。在曝气沉砂池内部空气中设置H<sub>2</sub>S监测探头,以30 s的时间间隔实时监测H<sub>2</sub>S浓度的变化。此外,在曝气沉砂池

中设置pH值和水温监测探头,每15 min记录1个数值。每1 h取1次水样,检测溶解态硫化物浓度。

### 1.3 监测指标与方法

监测指标有溶解态硫化物浓度、pH值、水温、H<sub>2</sub>S浓度。水中溶解态硫化物浓度采用0.45 μm滤膜过滤-亚甲基蓝分光光度法测定。pH值、水温采用Hanna HI 9828多参数水质测量仪监测,其中pH值测量范围为0~14.00、精度为±0.02,温度测量范围为-5.00~55.00 °C、精度为±0.15 °C。H<sub>2</sub>S浓度采用JAS5-H<sub>2</sub>S-50及其无线监测系统监测,监测范围为0~100 mg/m<sup>3</sup>、灵敏度为0.01 mg/m<sup>3</sup>。

## 2 结果与讨论

### 2.1 曝气沉砂池中H<sub>2</sub>S排放浓度的时间变化特征

选取恶臭污染较重的8月—10月,分别于2014年和2015年对苏州某污水厂曝气沉砂池内的H<sub>2</sub>S浓度进行了实时在线监测(采样间隔为30 s)。H<sub>2</sub>S浓度的时间变化特征见图1。可知,污水厂的H<sub>2</sub>S排放浓度波动较大。调研期间H<sub>2</sub>S浓度最大值出现在2014年10月9日17:49:00,为13.11 mg/m<sup>3</sup>,最小值出现在2014年10月10日06:59:00,浓度为0.01 mg/m<sup>3</sup>。席劲瑛等<sup>[9]</sup>的研究结果表明,H<sub>2</sub>S主要从污水预处理的后端处理单元(曝气沉砂池)排放,其H<sub>2</sub>S排放浓度最高达到8.9 mg/m<sup>3</sup>。

污水厂的H<sub>2</sub>S排放浓度具有明显的时间变化特征。从图1可知,一天中11:00—14:00、17:00—19:00、22:00—02:00是H<sub>2</sub>S排放浓度的高峰期,05:00—09:00、15:00—16:00是H<sub>2</sub>S排放浓度的低谷期。这可能与该污水厂附近居民的生活用水时间相关,且生活用水到污水厂存在一定的时间滞后性。这与王智超等人<sup>[11]</sup>对格栅和曝气沉砂池内H<sub>2</sub>S排放浓度的时间变化特征的研究结果相似,他的研究表明,每天11:00—12:00、18:00—19:00时间段

$H_2S$  排放浓度较高,而在 04:00—06:00 时间段  $H_2S$  排放浓度较低。

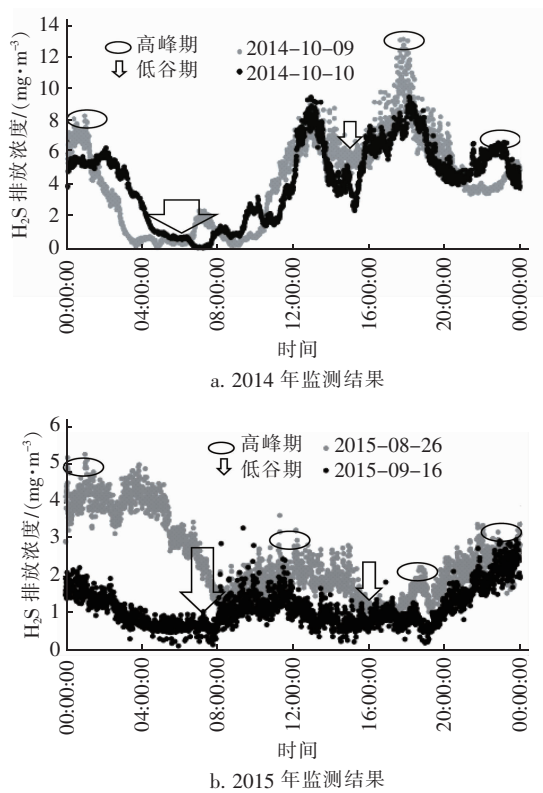


图1  $H_2S$  排放浓度的时间变化特征

Fig.1 Temporal variation characteristics of  $H_2S$  emission concentration

## 2.2 $H_2S$ 排放浓度的影响因子分析

### 2.2.1 $H_2S$ 排放浓度与污水流量的关系

依据 2015 年 9 月 16 日的监测数据,分析  $H_2S$  排放浓度与污水流量的关系,结果如图 2 所示。

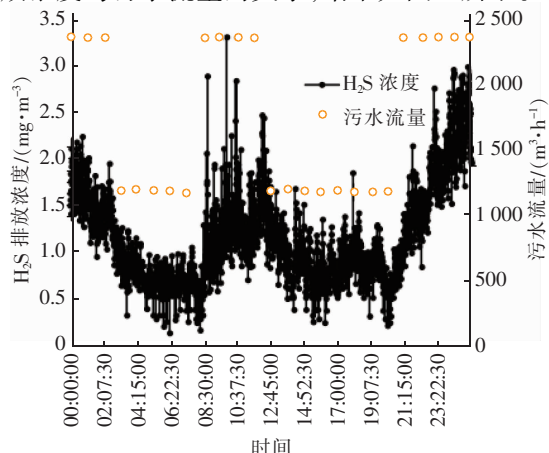


图2  $H_2S$  排放浓度与污水流量的关系

Fig.2 Correlation between  $H_2S$  emission concentration and wastewater flow rate

由图 2 可以看出,当污水流量为 1 180  $m^3/h$  时, $H_2S$  排放浓度范围为 0.12 ~ 1.84  $mg/m^3$ ,当污水流量增至 2 360  $m^3/h$  时, $H_2S$  排放浓度范围为 0.53 ~ 3.3  $mg/m^3$ 。 $H_2S$  排放浓度与污水流量呈正相关性,这可能是因为污水流量增加时,流速增大,增大了污水的搅动,有利于  $H_2S$  逸出;反之亦然。

### 2.2.2 $H_2S$ 排放浓度与污水中硫化物浓度的关系

依据 2015 年 8 月 26 日监测数据,分析  $H_2S$  排放浓度与污水中硫化物浓度的关系,结果如图 3 所示。可以看出, $H_2S$  排放浓度与污水中硫化物浓度有极强的相关性,Pearson 相关系数  $R$  为 0.84,表明污水厂构筑物的  $H_2S$  排放浓度受污水中硫化物浓度的影响较大。此外, $H_2S$  排放浓度与污水中硫化物浓度呈正相关性,当硫化物浓度降低时, $H_2S$  排放浓度降低;当硫化物浓度升高时, $H_2S$  排放浓度升高。根据气液平衡和电离平衡关系可知,污水中硫化物浓度升高时,水中分子形态的  $H_2S$  浓度增加,有利于  $H_2S$  的逸出;反之亦然。

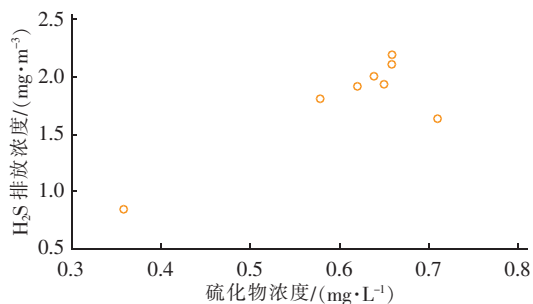


图3  $H_2S$  浓度与污水中硫化物浓度的线性相关性

Fig.3 Correlation between  $H_2S$  emission concentration and sulfide concentration in wastewater

### 2.2.3 $H_2S$ 排放浓度与水温的关系

监测结果表明, $H_2S$  排放浓度与水温呈强相关性,Pearson 相关系数  $R$  为 0.62。 $H_2S$  排放浓度与水温呈正相关性,当水温降低时, $H_2S$  浓度降低,当水温升高时, $H_2S$  浓度升高,这与眭光华等<sup>[12]</sup>的研究结果相似,因此  $H_2S$  排放浓度随季节变化呈现夏季高、冬季低的规律。

### 2.2.4 $H_2S$ 排放浓度与 pH 值的关系

$H_2S$  排放浓度与 pH 值的 Pearson 相关系数  $R$  为 -0.13,可见  $H_2S$  排放浓度与 pH 值并无显著相关关系。而有研究表明<sup>[13]</sup>,进水区各处理单元中的  $H_2S$  浓度随着污水 pH 值的升高而降低,当污水 pH 值由 6.8 升至 7.2 以上时,曝气沉砂池中的  $H_2S$  浓

度从最高值 115.69 mg/m<sup>3</sup> 降至 1.37 mg/m<sup>3</sup> 以下。造成研究结果差异的原因可能是:在不同 pH 值范围内,H<sub>2</sub>S 排放浓度的变化幅度是不一样的<sup>[13-14]</sup>,在一天的变化范围内,pH 值波动范围(7.07~7.23)很小,与 H<sub>2</sub>S 排放浓度没有表现出明显的相关性。

### 3 结论

① 以天为周期,污水厂的 H<sub>2</sub>S 排放浓度存在显著波动,一天中 11:00—14:00、17:00—19:00、22:00—02:00 是 H<sub>2</sub>S 排放的 3 个高峰期,05:00—09:00、15:00—16:00 是 H<sub>2</sub>S 排放的低谷期。

② 污水流量影响 H<sub>2</sub>S 的排放浓度:当污水流量减少时,H<sub>2</sub>S 浓度降低;当污水流量增加时,H<sub>2</sub>S 浓度升高。

③ H<sub>2</sub>S 排放浓度与污水中硫化物浓度、水温呈显著正相关性,Pearson 相关系数 R 分别为 0.84 和 0.62。

④ 在一天的变化范围内,pH 值波动范围(7.07~7.23)很小,与 H<sub>2</sub>S 排放浓度未表现出显著的相关性。

### 参考文献:

- [1] Lewkowska P, Cieslik B M, Dymerski T, et al. Characteristics of odors emitted from municipal wastewater treatment plant and methods for their identification and deodorization techniques [J]. Environmental Research, 2016, 151:573~586.
- [2] 刘建伟,陈雪威,张波,等. 城市污水厂污泥脱水间除臭工程设计和运行[J]. 中国给水排水,2019,35(8):91~95.  
Liu Jianwei, Chen Xuewei, Zhang Bo, et al. Deodorization engineering design and operation of sludge dewatering room in urban sewage treatment plant [J]. China Water & Wastewater, 2019, 35 (8):91 ~ 95 (in Chinese).
- [3] Chen D, Szostak P. Factor analysis of H<sub>2</sub>S emission at a wastewater lift station: a case study [J]. Environmental Monitoring & Assessment, 2013, 185(4):3551~3560.
- [4] Latos M, Karageorgos P, Kalogerakis N, et al. Dispersion of odorous gaseous compounds emitted from wastewater treatment plants [J]. Water, Air, & Soil Pollution, 2011, 215(1):667~677.
- [5] Godoi A F L, Grasel A M, Polezer G, et al. Human exposure to hydrogen sulphide concentrations near wastewater treatment plants [J]. Science of the Total Environment, 2017, 610/611:583~590.
- [6] Fisher R M, Le-Minh N, Alvarez-Gaitan J P, et al. Emissions of volatile sulfur compounds (VSCs) throughout wastewater biosolids processing [J]. Science of the Total Environment, 2018, 616/617:622~631.
- [7] 于方田,宁靓,张东生. 城市污水处理厂含硫恶臭气体的产生与治理[J]. 中国给水排水,2012,28(8):87~90.  
Yu Fangtian, Ning Liang, Zhang Dongsheng. Generation and control of malodorous sulfur gases at wastewater treatment plant [J]. China Water & Wastewater, 2012, 28(8):87 ~ 90 (in Chinese).
- [8] 林坚,李琳,刘俊新,等. 城市污水厂主要处理单元恶臭及挥发性有机物的逸散[J]. 环境工程学报,2016,10(5):2329~2334.  
Lin Jian, Li Lin, Liu Junxin, et al. Odors and volatile organic compounds emission from main processing units of wastewater treatment plant [J]. Chinese Journal of Environmental Engineering, 2016, 10 (5): 2329 ~ 2334 (in Chinese).
- [9] 席劲瑛,胡洪营,罗彬,等. 城市污水处理厂主要恶臭源的排放规律研究[J]. 中国给水排水,2006,22(21):99~103.  
Xi Jinying, Hu Hongying, Luo Bin, et al. Odorants emission characteristics in a municipal wastewater treatment plant [J]. China Water & Wastewater, 2006, 22(21):99 ~ 103 (in Chinese).
- [10] 孙池. 城市污水典型处理工艺气态无机硫化物与臭气的排放特征研究[D]. 北京:北京林业大学,2016.  
Sun Chi. Inorganic Sulfide Gaseous and Odor Characteristics of Typical Municipal Wastewater Treatment Plants [D]. Beijing: Beijing Forestry University, 2016 (in Chinese).
- [11] 王智超,席劲瑛,程志强,等. 城市污水厂不同时间尺度下恶臭排放特征[J]. 环境科学与技术,2014,34(2):84~88.  
Wang Zhichao, Xi Jinying, Cheng Zhiqiang, et al. Emission characteristics of odorants in a municipal wastewater treatment plant under different time scales [J]. Environmental Science & Technology, 2014, 34 (2):84 ~ 88 (in Chinese).
- [12] 眭光华,李建军,孙国萍. 城市污水处理厂恶臭污染源调查与研究[J]. 环境工程学报,2008,2(3):399~

(下转第 83 页)